

## دراسة مخبرية لتقدير مقاومة الأسنان المعالجة لبياً والمحضرة بحفر صنف ثانٍ ضد الانكسار عند استخدام تقنية الختم الليّاني باستخدام تقنيتي تحرش مختلفتين في حفر المدخل

\*بشار بديع صيرفي<sup>1</sup>

<sup>1</sup> مدرس في قسم مداواة الأسنان في الجامعة العربية الخاصة للعلوم والتكنولوجيا  
[bashar.sairafi@aust.edu.sy](mailto:bashar.sairafi@aust.edu.sy)

### الملخص:

**خلفية البحث وهدفه:** تهدف هذه الدراسة لتقدير فعالية تقنية حديثة في ختم جدران الحجرة الليّانية قبل استخدام سوائل الإرواء وذلك بتطبيق أنظمة الإلصاق على جدران الحجرة قبل تطبيق سوائل الإرواء لحفرة المدخل على قوة السن المعالج لبياً والمحضّر بحفرة MOD ومقاومته ضد الانكسار وذلك باستخدام تقنية التحرش الكامل وتقنية التحرش الذاتي عند استخدام نظام رابط Universal ومقارنة تقنيتي التحرش السابقتين فيما بينهما وذلك بعد ترميم الأسنان بكمبوزت الكثلة الواحدة السيال ومع مجموعة شاهدة من الأسنان المقلوبة والسليمة.

**مواد البحث وطريقه:** تألفت عينة البحث من 30 ضاحكة بشريّة سليمة ومقلوبة قلعاً حديثاً لأسباب نقويّة، وتم تقسيمها على ثلاث مجموعات متساوية: (n=10) الأولى هي المجموعة الشاهدة لمجموعة الأسنان السليمة، المجموعة الثانية استخدم فيها تقنية الختم الليّاني باستخدام نظام رابط Universal بتقنية التحرش الكامل، والمجموعة الثالثة استخدم فيها تقنية الختم الليّاني باستخدام نظام رابط Universal بتقنية التحرش الذاتي، تم ترميم الأسنان بكمبوزت الكثلة الواحدة السيال كبديل للعاج والطبقة الأخيرة طبق فيها الكمبوزت التقليدي.

بعد إجراء الدورات الحرارية لعينات المجموعات الثلاث تم إجراء اختبار تحمل قوة الضغط على جهاز الاختبارات الميكانيكية لتقدير مقاومة الانكسار ومن ثم سُجلت النتائج بوحدة قياس نيوتن (N) عند حدوث انكسار في السن أو المادة المرممة، جمعت البيانات وأُجري لها تحليل إحصائي (one-way ANOVA) ببرنامج SPSS الإصدار 25 وذلك عند مستوى دلالة  $P \leq 0.05$ .

**النتائج:** أظهرت نتائج الدراسة عدم وجود فروقاً ذو دلالة إحصائية بين مجموعات الدراسة الثلاث، وكانت مقاومة الانكسار أعلى في المجموعة الأولى ومن ثم المجموعة الثانية ومن ثم المجموعة الثالثة بالترتيب .

**الاستنتاجات:** نستنتج ضمن حدود هذه الدراسة فعالية طريقة الختم الليّاني في زيادة مقاومة الأسنان المعالجة لبياً ضد الانكسار عند استخدام تقنيتي التحرش (التحرش الكلي والتحرش الذاتي) وعند ترميم الأسنان بكمبوزت الكثلة الواحدة السيال كبديل للعاج والكمبوزت التقليدي كبديل للمينا .

**الكلمات المفتاحية:** الأسنان المعالجة لبياً، حفر الصنف الثاني MOD، كمبوزت الكثلة الواحدة السيال، الختم الليّاني، التحرش الكلي، التحرش الذاتي.

تاريخ الإيداع: 2024/10/15

تاريخ القبول: 2024/9/22

حقوق النشر: جامعة دمشق - سورية، يحتفظ المؤلفون بحقوق النشر بموجب

ISSN: 2789-7214 (online)

<http://journal.damascusuniversity.edu.sy>



# An in-vitro Study to Evaluate the Fracture Resistance of Endodontically Treated Teeth using Intermediate Endodontically Sealing in Access Cavity with Two Different Etching Techniques

Bashar Badie Sairafi\*<sup>1</sup>

\*<sup>1</sup>Department of Endodontics and Operative Dentistry, Arab Private University of Science and Technology, Hama, Syria. [bashar.sairafi@aust.edu.sy](mailto:bashar.sairafi@aust.edu.sy)

## Abstract:

**Background and Aim:** This study aimed to evaluate the effect of using two different etching techniques of Immediate Endodontic Sealing IEM technique on the fracture resistance of endodontically treated teeth with MOD cavity restored by Flowable Bulk-fill composite as dentin replacement.

**Materials and Methods:** Thirty extracted first maxillary premolars were collected and distributed randomly into three groups (n=10). Solid teeth (Group 1), and two different IEM techniques were applied, first one with Total Etch bonding system (Group 2) and second one with self-etch bonding system (Group 3). IEM procedures were applied before Root Canal Treatments and MOD coronal preparations were done in two groups (2 and 3). Two groups were restored with tetric n-flow bulk fill and tetric n-ceram. Compression load test was done for all groups, and then data were analyzed with one-way ANOVA tests.

**Results:** Results showed that the group 2 had the highest mean of the compression load test when compared with group 3 and lower mean of the compression load test when compared with group 1, with no statistically difference ( $p > 0.05$ ).

**Conclusions:** The use of IEM technique with Total etch bonding systems or self-etch ones and restore endodontically treated teeth with flowable bulk-fill composite as dentin replacement and conventional composite have good result and enhance the fracture resistance of treated teeth.

**Keywords:** Endodontically Treated Teeth, MOD Cavities, Flowable Bulk Fill Composite, Immediate Endodontic Sealing, Total Etch Technique, Self-Etch Technique.



من التأثير السلبي لسوائل الإرواء [9][11]، وقد اعتمدت هذه الدراسة على إجراء الختم العاجي الفوري لحفرة المدخل قبل تطبيق سوائل الإرواء وهذا ما يُعرف بالختم الليّي الآني Immediate Endodontic Sealing (IES) [12].

تُستخدم تقنية IES عادة مع الترميمات غير المباشرة إن كانت ترميمات خزفية أو من الكمبوزت [13][14]، كما تم استخدامها عند ترميم الأسنان المعالجة لبياً بترميمات الكمبوزت المباشر [8]. عند استخدام تقنية الختم الليّي الآني يتم عادةً استخدام تقنية التخريش الكامل Total Etch وفي هذه التقنية يُستخدم حمض الفوسفور بتركيز 37 درجة PH حوالي 0.9 ويتم تطبيق الحمض لمدة 15 ثانية، وبعد إتمام مرحلة التخريش يُغسل العاج والمينا المخرسان بالماء لإزالة الحمض من على سطح السن ومن ثم تطبيق الرابط لمدة 20 ثانية والتصليب، أما تقنية التخريش الذاتي Self-Etch فلا يتم فيها استخدام حمض الفوسفور وإنما يحتوي النظام الرابط على مونوميرات حامضية لا تزيل طبقة اللطاخة المتشكلة أثناء التحضير بل تجعلها نفوذة، تتميز الطريقة الثانية عن الأولى بتقليل عدد خطوات التطبيق مما يقال من مجال الخطأ ولكن من سماتها أنها تعطي قوة ارتباط أضعف وفي هذه التقنية يتم تطبيق الرابط على طبقتين ومن ثم التصليب إذ تُطبق الطبقة الأولى لمدة 20 ثانية ثم تجف بالهواء وبعدها الطبقة الثانية وتجف بالهواء وتصلب، أما أنظمة الإلصاق الـ Universal فهي أنظمة إلصاق يمكن تطبيقها بكل تقنيات التخريش لذلك تدعى أيضاً أنظمة الإلصاق الـ Multi-Mode، تتميز هذه الأنظمة باحتوائها على مونوميرات هيدروكسيلية أو فوسفورية تحقق ارتباطاً كيميائياً مع الكالسيوم الموجود في جزيئات هيدروكسي الأباتيت الموجود في البنى السنية [15].

## المقدمة :Introduction

ترتفع نسبة انكسار السن المعالج لبياً كلما ازداد عدد الجدران المفقودة، فالأسنان المعالجة لبياً والمرممة بترميمات الصنف الثاني تعاني من نسبة انكسار أكبر من تلك المرممة بترميمات الصنف الأول [1]، إذ تؤثر خسارة الارتفاعات الحفافية للسن على قوته وبالتالي ديمومة السن المعالج لبياً في الحفرة الفموية [2].

يعزى ضعف السن المعالج لبياً لعدة أسباب منها إصابة السن بالنخور الكبيرة أو الرضوض، وخسارة البنى السنوية كالحدبات والارتفاعات الحفافية وخسارة سقف الحجرة الليبية والتحضير الميكانيكي الحاصل للأقنية الجذرية، كما أن سوائل الإرواء والضمادات القوية تؤثر على قوة السن المعالج لبياً وبالتالي على مقاومته للانكسار [3].

أقرت العديد من التقنيات التي تعزز من قوة السن المعالج لبياً مثل ترميمات الأملغم وأوتاد ناير، استخدام التيجان والخشوات المغطية للحدبات Onlays، وأوتاد الفايير والترميمات اللصاقية، وقد أظهرت الدراسات أن ترميمات الكمبوزت ترفع من مقاومة السن المعالج لبياً ضد الانكسار [4].

أظهرت الدراسات أن استخدام هيبوكلوريد الصوديوم كسائل إرواء عند المعالجة الليبية للأسنان يُضعف من قوتها ويزيد من احتمال انكسارها، كما أن استخدام هيبوكلوريد الصوديوم يخفف من قوة ارتباط أنظمة الإلصاق مع العاج وبالتالي ارتباط أضعف لترميمات الكمبوزت [5، 6، 7]، يعود سبب هذا التأثير إلى تأثير هيبوكلوريد الصوديوم الحال للبروتينات مما يحطم من الشبكة الكولاجينية في العاج [8].

ظهرت تقنية الختم العاجي الآني Immediate Dentine Sealing (IDS) كمحاولة للتخفيف من التأثيرات السلبية لهيبوكلوريد الصوديوم مع المحافظة على دوره في تطهير المنظومة القنوية الجذرية ولقد تم ذكر هذه الطريقة في العديد من الأبحاث [9][10]، يحقق استخدام هذه التقنية ختماً فورياً للعاج المحضر حديثاً مما يقلل من التسرب الحفافي ويخفف

3. المجموعة الثالثة: مجموعة الأسنان التي طُبِقَ فيها تقنية الـ Immediate Endodontic Access Cavity Sealing بـ تقنية التخريش الذاتي ومن بعدها المعالجة الليبية التقليدية والترميم.

تم تحضير حفر MOD على الأسنان المقلوعة وتم اعتماد نموذج التحضير التقليدي في التحضير وكانت الحفر متوسطة الحجم، وقد حدّدت أبعاد الحفر وفق مايلي [16]: العرض الدهليزي- اللساني 5 مم، عمق التحضير عند الميزاب المركزي 5 مم، عمق الجدار اللثوي للحفر العلبيّة هو أن يكون بعيد عن الملقي المينائي الملاطي 2 مم، وتم التأكيد من هذه الأبعاد باستخدام المسبر اللثوي.

تم تحضير حفر المدخل للحجرة الليبية بعد تحضير حفر MOD، تم تطبيق تقنية الختم الآني الليبي IEM قبل البدء بإجراءات المعالجة الليبية في المجموعة الثانية والثالثة من مجموعات الدراسات إذ تم تطبيق هذه التقنية مع نظام رابط Universal بـ تقنية التخريش الكامل في المجموعة الثانية، وتطبيق هذه التقنية مع نظام رابط Universal بـ تقنية التخريش الذاتي في المجموعة الثالثة، ففي المجموعة الثانية تم تطبيق الحمض المخرّش لمدة 15 ثانية وبعد إتمام مرحلة التخريش غسلت الحفرة بالماء لإزالة الحمض من على سطح السن ومن ثم تطبيق الرابط لمدة 20 ثانية وهو من نوع N-Tetric® Bond Universal (Ivocalr Vivadent Schaan، Liechtenstein) والتصليب لمدة 20 ثانية أما في المجموعة الثالثة تم تطبيق الرابط نفسه على طبقتين ومن ثم التصليب إذ تطبق الطبقة الأولى لمدة 20 ثانية ثم تجف بالهواء وبعدها الطبقة الثانية وتجف بالهواء وتصلّب لمدة 20 ثانية، استخدم في التصليب الضوئي جهاز CuringPen-E (Eighteeth, China) بشدة ضوئية  $mw/cm^2$  1000، وقد تم التأكيد من شدته الضوئية بعد كل 5 عينات باستخدام جهاز فاحص للشدة الضوئية Demetron®.

## هدف الدراسة : Aim of the Study

تهدف هذه الدراسة لتقدير مقاومة الأسنان المعالجة لبياً والمحضرة بـ حفر صنف ثانٍ MOD ضد الانكسار عند استخدام تقنية الختم الليبي الآني IES باستخدام تقنيتي تخريش مختلفتين في حفر المدخل هي تقنية التخريش الكامل وتقنية التخريش الذاتي عند استخدام نظام رابط Universal ومقارنة تقنيتي التخريش السابقتين فيما بينهما ومع مجموعة شاهدة من الأسنان المقلوعة والسليمة، ويترميم هذه الأسنان بـ ترميمات الكمبوزيت المباشرة وذلك باستخدام كمبوزيت الكتلة الواحدة السائل.

## مواد وطرق البحث : Materials and Methods

### عينة البحث : Sample Criteria

تألفت عينة البحث من 30 ضاحكة بشرية أولى علوية متقاربة الأحجام، مضاعفة الجذر سليمة، غير منحورة، غير مرمرة، ومكتملة الذروة، مقلوعة حديثاً لأسباب تقويمية حيث لا يتجاوز القلع الأسبوعين ، وتم استبعاد أي ضاحكة لم تتحقق أحد الشروط السابقة، اعتمد عند اختيار حجم العينة على مجموعة من الدراسات المخبرية السابقة المشابهة في تصميمها للدراسة الحالية [23][8][4].

### طرق البحث : Methods

أجري نقليح للأسنان المقلوعة وذلك بعد حفظها بمحلول السالين، وتم تقسيم العينات على ثلاث مجموعات متساوية كل مجموعة مؤلفة من عشر عينات (n=10)، ومن ثم ثبتت ضمن مكعبات أكريليكية بقياس (2×2 cm<sup>2</sup>):

1. المجموعة الأولى: المجموعة الشاهدة مؤلفة من 10 أسنان مقلوعة دون أي تحضير.

2. المجموعة الثانية: مجموعة الأسنان التي طُبِقَ فيها تقنية الـ Immediate Endodontic Access Cavity Sealing بـ تقنية التخريش الكامل ومن بعدها المعالجة الليبية التقليدية والترميم.

رممت جميع الأسنان في مجروعي الدراسة باستخدام كمبوزت Tetric® N- Flow Bulkfill (Ivoclar Vivadent Schaan, Liechtenstein) كديل للعاج وهو كمبوزت الكثلة الواحدة Tetric® N- Ceram (Ivoclar Vivadent Schaan, Liechtenstein) وذلك حسب توصيات الشركة المنتجة بعدم استخدام كمبوزت Tetric® N- Flow Bulkfill كديل للمينا، عند الترميم وبعد تطبيق حشوة قاعدية من اسمنت الزجاج الشاردي اعتمد على تقنية التخريش المينائي الانتقائي لتخريش حوف التحضير المينائي ومن ثم تطبيق النظام الرابط من نفس نوع الرابط المستخدم عند تطبيق تقنية IES (الجدول 1)، ولقد أُستخدمت مساند Tofflemire عند ترميم الأسنان، بعد الانتهاء من الترميم تم إنتهاء جميع الترميمات باستخدام سنابل وأقراس الإناء وفق تعليمات الشركة المنتجة باستخدام الأقراس من الأخشن إلى الأنعم بتطبيق كل فرض لمدة 15 ثانية وكل فرض أُستخدم لعينة واحدة فقط.

(Kerr, Middleton, USA) بعد ذلك سُلّكت الأقنية بمبارد Kقياس # 10 وأجريت المعالجة الليبية التقليدية باستخدام التحضير الآلي باستخدام نظام تحضير Protaper Gold (Dentsply, Tulsa Dental Specialties, Tulsa, OK, USA) الانتهاء من التحضير عند المبرد F2، حيث ميرد قياس الذروة لمبرد F2 هي 25# والقعمية 8% عند نقطة D1 و 5.5% عند نقطة D14، مع الغسل باستخدام 2 مل من هيبوكلوريد الصوديوم تركيز 5.25% بين كل قياس والأخر ومن ثم استخدم 5 مل من محلول EDTA تركيز 17% كسائل إرواء آخر [16]، تم الحشو القنوي باستخدام تقنية القمع المفرد مع سيلر ADSEAL® (Meta Biomed, Chungcheongbuk-do, Republic of Korea) ، بعد الانتهاء من مرحلة الحشو تم تفريغ 1 مم تحت مستوى الملحق المينائي الملاطي من الكوتا بيركا الموجودة في مداخل الأقنية الليبية وتطبيق اسمنت زجاج شاردي مقوى بالراتنج بسماكه 2 مم، وقد تم ضبط هذه السماكة بقياس العمق بعد تفريغ الكوتا بيركا بين مدخل الفناة ونقطة ثابتة في تاج السن قبل تطبيق الحشوة القاعدية وبعدها.



الشكل (1): المواد المستخدمة في ترميم الحفر وفي الختم الليبي الاني

الجدول (1): يوضح المواد المستخدمة في ترميم أسنان الدراسة وذلك بالاعتماد على بروشورات الشركات المنتجة

Product Name	Type	Manufacturer	Components	Lot Number	Shade
Tetric® N-Flow Bulkfill	Flowable Bulkfill Composite for Dentin Replacement	Ivoclar Vivadent Schaan, Liechtenstein	Bis-GMA, UDMA, barium glass fillers, YbF <sub>3</sub> , mixed oxides, silicon dioxide	Z04XLY	Iv A
Tetric® N-Ceram	Composite for Anterior and Posterior Restorations	Ivoclar Vivadent Schaan, Liechtenstein	Bis-GMA, urethane dimethacrylate, TEGDMA, barium glass, ytterbium trifluoride, Silicon Dioxide, mixed oxide, initiators, stabilizers, pigments	Z03D8P	A2
Tetric® N-Bond Universal	Light curing single-component dental adhesive	Ivoclar Vivadent Schaan, Liechtenstein	Methacrylate, ethanol, water, silicon dioxide, initiators and stabilizers	Z0591C	—
N-Etch	Etching acid	Ivoclar Vivadent Schaan, Liechtenstein	Phosphoric acid 37%	Z05W0S	—
Bis-GMA, bisphenylglycidyl dimethacrylate; UDMA, diurethane dimethacrylate; TEGDMA, triethylene glycol dumethacrylate;					

عرضت جميع العينات في المجموعات الثلاث لـ 500 دورة حرارية في درجات حرارة C 55° - 5، وذلك بعد حفظها في الصاد الموصد بدرجة حرارة 37° لمدة أسبوع [17].

**الاختبار الميكانيكي Mechanical Test:** سُجلت النتائج بوحدة قياس نيوتن (N) عند حدوث انكسار في السن أو المادة المرممة والذي حدد على أنه نقطة الفشل (الشكل 1).

لتقييم مقاومة الأسنان ضد الانكسار تم إجراء اختبار تحمل قوة الضغط على جهاز الاختبارات الميكانيكية Tinius OlsenH50KS



الشكل (2): اختبار قوة الضغط على العينات



الشكل (3): تسجيل نتيجة إحدى العينات المختبرة كما يعرضها جهاز الاختبارات الميكانيكية

### Results النتائج

### Statistical Analysis التحليل الإحصائي

تم تحليل النتائج باستخدام برنامج SPSS الإصدار 25 ( يمكن تلخيص تحليل النتائج للدراسة بالجدول التالي: ) اختبار (one-way ANOVA) وعند مستوى IBM Corp .p < 0.05 دلالة

الجدول (2): يظهر المتوسطات الحسابية ودرجات الانحراف لمجموعات الدراسة

Report						
	القيم					
العينات	Mean	N	Std. Deviation	Minimum	Maximum	
المجموعة 1 (المجموعة الشاهدة)	706.4800	10	327.37841	338.00	1478.00	
- Immediate Endodontic Access Cavity Sealing (مجموعة لا Total Etch)	660.6000	10	384.54229	251.30	1283.00	
- Self Immediate Endodontic Access Cavity Sealing (مجموعة لا Etch)	588.8200	10	346.56061	251.30	1072.00	
المجموع	651.9667	30	344.74980	251.30	1478.00	

يظهر الجدول السابق الإحصاءات الوصفية للمجموعات الثلاثة، وللحظ فيما إذا كان هذا الفارق معنوي أم لا وباعتبار لدينا أكثر من عينتين فإنه سيتم استخدام تحليل التباين الأحادي (One Way ANOVA)، والذي يتشرط التوزيع الطبيعي للبيانات باعتباره اختبار معلمي، وفيما يلي اختبار التوزيع الطبيعي لبيانات العينات ونتائج اختبار تحليل التباين:

حيث نلاحظ أن المجموعة الأولى بالمتوسط حققت أعلى قيمة في مقاومة قوى الضغط حيث بلغ المتوسط 706 بليه المجموعة 2 بمتوسط بلغ 660 وأخيراً المجموعة 3 بمتوسط 588 ، ومن الملحوظ أن من الإحصاءات الوصفية السابقة أن قيم المتوسطات متقاربة ولا يوجد اختلافات كبيرة بين العينات

**الجدول(3): يُظهر نتائج اختبار التوزيع الطبيعي لبيانات العينات ونتائج اختبار تحليل التباين**

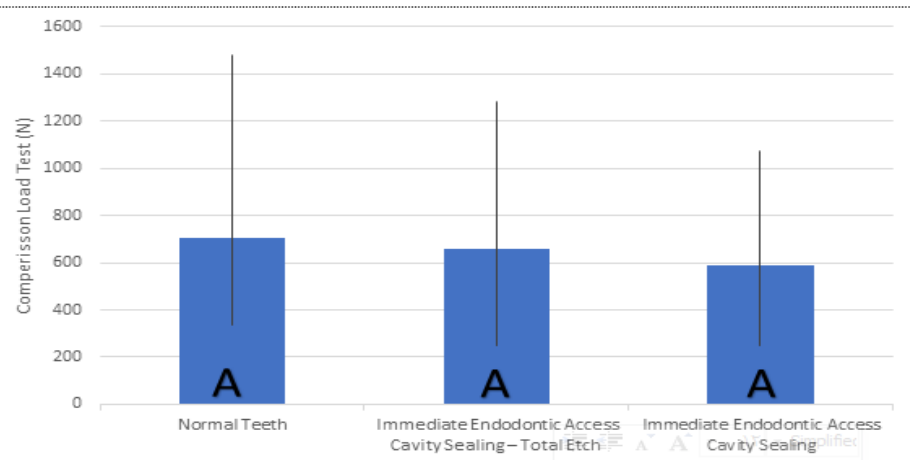
		Tests of Normality					
القيم	العينات	Kolmogorov-Smirnov <sup>a</sup>			Shapiro-Wilk		
		Statistic	df	Sig.	Statistic	df	Sig.
	المجموعة 1 (المجموعة الشاهدة)	.197	10	.200*	.876	10	.118
	Immediate Endodontic Access Cavity Sealing – Total Etch)	.162	10	.200*	.889	10	.163
	Immediate Endodontic Access Cavity Sealing – Self Etch)	.250	10	.076	.805	10	.016

\*. This is a lower bound of the true significance.  
a. Lilliefors Significance Correction

**الجدول (4): جدول تحليل ANOVA**

ANOVA					
القيم					
	Sum of Squares	df	Mean Square	F	Sig.
Between Groups	70337.395	2	35168.697	.281	.757
Within Groups	3376382.912	27	125051.219		
Total	3446720.307	29			

من خلال الجدول السابق نلاحظ أنه في جميع العينات كانت قيمة Sig أكبر من 0.01 إذ يستخدم مستوى الدلالة هذا لإعطاء مستوى عالي من الدقة وبالتالي فإن الفرضية العدمية للتوزيع الطبيعي محققة أي أن البيانات تتبع التوزيع الطبيعي. ومن خلال جدول تحليل ANOVA نجد أن قيمة Sig=0.757>0.05 وبالتالي لا يوجد فروق معنوية بين العينات المدروسة.

**المخطط (2): يُظهر نتائج تحليل ANOVA**

استخدمت هذه الدراسة ترميمات كمبوزت الكثلة الواحدة السائل المباشرة كخيار للمعالجة، وذلك بسبب كثرة انتشارها في العيادات سريرياً وخاصة لأنها توفر في الوقت وتعمل أقل تكلفة من الخيارات الأخرى [20].

عند اختيار الكمبوزت المباشر كمادة مرئية للأسنان المعالجة لبياً س تكون بحاجة لتطبيق أنظمة الربط قبل تطبيق الكمبوزت، وقد أظهرت الدراسات أن استخدام هيبوكلوريد الصوديوم كسائل إرواء قبل تطبيق أنظمة الربط يضعف من قوة الارتباط بين الكمبوزت والنسيج السندي وهذا يزيد من احتمالية حدوث الفجوات في المسافات البينية وبالتالي التسرب الحفافي والحساسية السنديّة وغيرها من مشاكل الارتباط، كما تضعف من الـ Monoblock المفترض تحقيقه كنتيجة للارتباط الميكانيكي المجهري بين الكمبوزت والنسيج السندي وبالتالي احتمال انكسار أكبر للسن أو الترميم أو الالتحن معًا [26][27].

أُستخدم في هذه الدراسة كمبوزت الكثلة الواحدة السائل كمادة مرئية بديلة عن العاج للاستفادة من قدرة هذا الكمبوزت على الاندماج في كل زوايا التحضير وخاصة الصغيرة منها من جهة، ومن جهة أخرى لأن هذا النوع من الكمبوزت يتميز بتقلص تصليبي منخفض إذ تم تصميمه خصيصاً لترميمات الحفر الخلفية والتي تعاني من تقلص تصليبي مرتفع عادةً [8]، وقد اختيرت تقنيتين في التخريش وتطبيق الختم الليالي (IES)، وهي تقنية التخريش الكامل Total Etch وتقنية التخريش الذاتي Self-Etch وذلك باستخدام نظام رابط Universal والذي يمكن تطبيقه بحسب أي تقنية تخريش، إذ تختلف التقنيتين عن بعضهما بأن الأولى تزيل طبقة اللطاخة بشكل كامل أما في التقنية الثانية فتعتمد على جعل طبقة اللطاخة نفودة إذ تمتلك هذه الأنظمة القدرة على إزالة التمعدن في طبقة اللطاخة بشكل جزئي وجعلها نفودة مما يسمح للمونوميرات بالاندماج في مناطق إزالة التمعدن المتشكلة من تطبيق النظام الرابط كما تحقق ارتباطاً كيميائياً مع النسيج السنديّة [28].

## المناقشة :Discussion

يؤثر عدد الارتقاعات الحفافية المفقودة من تاج السن على قدرة السن المعالج لبياً على مقاومة الانكسار، فقد أظهرت الدراسات أن ديمومة الأسنان المعالجة لبياً والتي خسرت أكثر من ثلاثة جدران من التاج ستكون أقل من ديمومة الأسنان التي خسرت أقل من ذلك [18]، لذلك اعتمدت هذه الدراسة على إجراء اختبار قوى الضغط على أسنان معالجة لبياً ومحضرة بتحضيرات MOD.

تسبب إجراءات المعالجة الليبية للأسنان ضعفاً في بنيتها [19]، إذ تسبب أدوات التحضير الآلي تجمعاً للجهود على طول الجذر المحضر [20]، كما أن استخدام هيبوكلوريد الصوديوم كسائل إرواء يضعف من العاج بسبب قدرته الحالة للمواد العضوية [21][8]، وقد أظهرت الدراسات أن التراكيز العالية من هيبوكلوريد الصوديوم تسبب تخرجاً أعمق في العاج عند دراسة مقاطع من القناة الجذرية تحت المجهر الإلكتروني Scanning Electron Microscope (SEM) إذ وصل عمق التخرب عند تطبيق هيبوكلوريد الصوديوم بتركيز 5.25% إلى 400 ميكرومتر [22].

تم اختيار إجراء البحث على الضواحك العلوية الأولى وذلك بسبب خواصها التشريحية إذ يكون شكل التاج حرسياً والجذور رفيعة والعنق ضيق، كما أن معظم الدراسات المشابهة استخدمت الضواحك مما يسهل من عملية المقارنة [23][24]، وقد تم اختيار حشو القنوات المحضرة بتقنية القمع المفرد للتخفيف من الجهد التي يمكن أن تتولد أثناء الحشو القبوي بالتقنيات الأخرى والتي قد تحدث تصدعات على طول الجذر عند تطبيق قوى زائدة [25].

اقتصرت الدراسات العديد من الطرق لزيادة قوة الأسنان المعالجة لبياً وجعلها مقاومة أكثر ضد الانكسار، مثل ترميم هذه الأسنان باستخدام الترميمات المصبوبة المغطية أو غير المغطية للحدبات، استخدام الـ Endocrowns، أو استخدام أوتاد الكمبوزت المقاوة بالألياف الزجاجية، أو استخدام ترميمات الكمبوزت المباشرة وغير المباشرة، [4]، وقد

الأخرى وهذا يتفق مع الدراسة الحالى، في حين حدث اختلاف بين الدراستين من حيث عدم وجود دلالة إحصائية في الدراسة الحالى، وقد يعود هذا الاختلاف لاستخدام الترميمات الخزفية غير المباشرة مع تقنية الختم العاجي الآتى في دراسة Hofsteenge وزملاه، في حين استخدمت الدراسة الحالى ترميم الكمبوزيت الكثلة الواحدة السيل فى تقنية الختم العاجي الآتى [33].

أختلفت نتائج هذه الدراسة مع دراسة Abo-Alazm وزميله والتي أظهرت تفوقاً في مجموعة تقنية Self-Etch عند مقارنتها مع باقى التقنيات، وقد يعود سبب الاختلاف أن دراستهم استخدمت ترميمات الكمبوزيت غير المباشرة في ترميم الأسنان غير المعالجة لبياً [34].

يبقى هذا الموضوع بحاجة إلى المزيد من الدراسات المخبرية مع تغيير من شروط الاختبار للحصول على نتائج أكثر ومعلومات أكبر، كما أن هذه الدراسات المخبرية يجب أن يتم تدعيمها بدراسات سريرية والتي تعد المعيار الذهبى لتقييم مواد وطرائق الترميم في طب الأسنان.

### **الاستنتاج :Conclusion**

ضمن حدود هذه الدراسة فقد أظهرت النتائج عدم وجود فروق ذو دلالة إحصائية بين مجموعة الدراسة عند مقارنتها مع المجموعة الشاهدة، مع ملاحظة وجود أفضلية لاستخدام تقنية الختم الآتى اللي ب باستخدام التخريش الكلى عند مقارنته مع تقنية الختم الآتى اللي ب باستخدام التخريش الذاتى وذلك بالاعتماد على المتوسطات الحسابية فقط مع عدم وجود فروق دالة إحصائياً.

لتقييم مجموعات الدراسة ومعرفة أي مجموعة ستعطي مقاومة أكبر ضد الانكسار تم إجراء اختبار تحمل قوة الضغط وهذه الطريقة مستخدمة في العديد من الدراسات، وهو اختبار يحدد سلوك المادة عند تعريضها لقوة الضغط مما يعكس بعض الخواص الميكانيكية للمواد المختلفة، كما يحدد هذا الاختبار القوة المطلوبة لكسر العينة عند تطبيق ضغط [29][30][31].

أظهرت هذه الدراسة عدم وجود فروقاً دالة إحصائياً بين مجموعات الدراسة، ولكن كانت المجموعة الثالثة هي التي أعطت أقل مقاومة للكسر وهي مجموعة الختم اللي الآتى باستخدام تقنية التخريش الذاتى، في حين كانت المجموعة الشاهدة وهي مجموعة الأسنان السليمة هي الأعلى مقاومة، يمكن تبرير هذه النتيجة الجيدة لمجموعتي الدراسة عند مقارنتها مع المجموعة الشاهدة أن تقنية الختم اللي تحقق انتظاماً أفضل في تماس الترميم مع السن مما يخفف من ظهور الفجوات وبالتالي دعماً أفضل للبنية السنية [8]، يمكن تفسير نتيجة تفوق المجموعة الثانية على المجموعة الثالثة أنه عند استخدام تقنية التخريش الكامل كانت قوة الارتباط أقوى مع البنية السنية وذلك عند تطبيقها وفق توصيات الأدب الطبي، وجود ارتباط أكبر يحقق دعم أكبر للبنية السنية [32].

اتفقت الدراسة الحالى مع دراسة Hofsteenge وزملاه من حيث أنها أظهرت أكبر مقاومة للأسنان المعالجة لبياً ضد الانكسار عند استخدام ترميمات خزفية مغطية أو داخل تاجية والتي طبق فيها تقنية الختم اللي الآتى باستخدام تقنية التخريش الكامل وذلك بوجود دلالات إحصائية مع المجموعات Total Etch

## References:

1. Demarco FF, Corrêa MB, Cenci MS, Moraes RR, Opdam NJ. Longevity of posterior composite restorations: not only a matter of materials. *Dent Mater*. 2012; January; 28(1): 87– 101.
2. López SG, Chinesta MVS, García LC, de HaroGasquet F, Rodríguez MPG. Influence of cavity type and size of composite restorations on cuspal flexure. *Med Oral Patol Oral Cir Bucal*. 2006; November 1; 11 (6): E536– 40. [PubMed] [Google Scholar]
3. Selvaraj H, Krithikadatta J, Shrivastava D, Al Onazi MA et al. Systematic review fracture resistance of endodontically treated posterior teeth restored with fiber reinforced composites- a systematic review. *BMC Oral Health*. 2023; August; 23: 566.
4. Bassir MM, Labibzadeh A and Mollaverdi F. The effect of amount of lost tooth structure and restorative technique on fracture resistance of endodontically treated premolars. *J Conserv Dent*. 2013 Sep-Oct; 16(5): 413–417.
5. Mohammadi Z. Sodium hypochlorite in endodontics: an update review. *Int Dent J*. 2008 Dec;58(6):329-41.
6. Nikaido T, Takano Y, Sasafuchi Y, Burrow MF, Tagami J. Bond strengths to endodontically-treated teeth. *Am J Dent*. 1999 Aug;12(4):177-80.
7. Belli S, Zhang Y, Pereira PN, Ozer F, Pashley DH. Regional bond strengths of adhesive resins to pulp chamber dentin. *J Endod*. 2001 Aug;27(8):527-32.
8. De Rose L, Krejci I, Bortolotto T. Immediate endodontic access cavity sealing: fundamentals of a new restorative technique. *Odontology*. 2015; 103:280- 285.
9. Pashley EL, Comer RW, Simpson MD, Horner JA, Pashley DH, Caughman WF. Dentine permeability: sealing the dentine in crown preparations. *Oper Dent*, 1992; 17: 13- 20.
10. Magne P. Immediate dentine Sealing: a fundamentals procedure for indirect bonded restorations. *J Esthet Restor Dent*. 2005; 17: 144- 55.
11. Durate S Jr, de Freitas CR, Saad JR, Sadan A. The Effect of immediate dentine sealing on the marginal adaptation and bond strengths of total-etch and self-etch adhesives. *J Prosthet Dent*. 2009; 102: 1- 9.
12. Ebert J, Löffler C, Roggendorf MJ, Petschelt A, Frankenberger R. Clinical adhesive sealing of the pulp chamber following endodontic treatment: influence of thermomechanical loading on microleakage. *J Adhes Dent*. 2009 Aug;11(4):311-7.
13. Gresnigt MMM, Cune MS, Schuitemaker J, Van der Made SAM, Meisberger EW, Magne P, Özcan M. Performance of ceramiv laminate veneers with immediate dentine sealing: an 11-year prospective clinical trial. *Dent Mater*. 2019; 35, 1042- 1052.
14. Hu J, Zhu Q. Effect of immediate dentin sealing on preventive treatment for postcementation hypersensitivity. *J Prosthet Dent*. 2010; 105, 27.
15. Sofan E, Sofan A, Palaia G, Tenore G, Romeo U, Migliau G. Classification review of dental adhesive systems: from the IV generation to the universal type. *Ann Stomatol (Roma)*. 2017 Jul 3;8(1):1-17.
16. Hazar E, Hazar A. Effect of Long Glass Fiber Orientations or a Short-Fiber-Reinforced Composite on the Fracture Resistance of Endodontically Treated Premolars. *Polymers* 2024, 16(9), 1289.
17. Loguercio AD, de Oliveira Bauer JR, Reis A, Grande RH. In vitro microleakage of packable composites in Class II restorations. *Quintessence Int*. 2004 Jan;35(1):29-34.
18. Soares, L.M.; Razaghy, M.; Magne, P. Optimization of large MOD restorations: Composite resin inlays vs. short fiber-reinforced direct restorations. *Dent. Mater.* 2018; 34, 587–597.

19. Fennis W.M., Kuijs R.H., Roeters F.J., Creugers N.H., Kreulen C.M. Randomized control trial of composite cuspal restorations: Five-year results. *J. Dent. Res.* 2014; 93:36–41.
20. Butterworth C., Ellakwa A.E., Shortall A. Fibre-reinforced composites in restorative dentistry. *Dent. Update.* 2003; 30:300–306.
21. Armstrong, S.R., Jessop, J.L.P., Winn, E., Tay, F.R. & Pashley, D.H. Denaturation temperatures of dentin matrices. I. Effect of demineralization and dehydration. *Journal of Endodontics.* 2006; 32, 638–641.
22. Xu H, Ye Z, Zhang A, Lin F, Fu J, Fok ASL. Effects of concentration of sodium hypochlorite as an endodontic irrigant on the mechanical and structural properties of root dentine: A laboratory study. *Int Endod J.* 2022 Oct;55(10):1091-1102.
23. Kaur B, Gupta S, Grover R, Sadana G, Gupta T, Mehra M. Comparative Evaluation of Fracture Resistance of Endodontically Treated Teeth Restored with Different Core Build-up Materials: An In Vitro Study. *Int J Clin Pediatr Dent.* 2021 Jan-Feb;14(1):51-58.
24. Farahanny W, Dennis D, Sihombing D. Fracture Resistance of Various Bulk-fill Composite Resins in Class II MOD Cavity on Premolars: An In Vitro Study. *World journal of dentistry.* 2019; 10(3): 166- 169.
25. Jaha HS. Hydraulic (Single Cone) Versus Thermogenic (Warm Vertical Compaction) Obturation Techniques: A Systematic Review. *Cureus.* 2024 Jun 22;16(6):e62925.
26. Seballos VG, Barreto MS, Rosa RAD, Machado E, Valandro LF, Kaizer OB. Effect of Post-Space Irrigation with NaOCl And CaOCl at Different Concentrations on the Bond Strength of Posts Cemented with a Self-Adhesive Resin Cement. *Braz Dent J.* 2018 Sep-Oct;29(5):446-451.
27. van den Breemer CRG, Özcan M, Cune MS, van der Giezen R, Kerdijk W, Gresnigt MMM. Effect of immediate dentine sealing on the fracture strength of lithium disilicate and multiphase resin composite inlay restorations. *J Mech Behav Biomed Mater.* 2017 Aug;72:102-109.
28. Dias WR, Pereira PN, Swift Jr EJ. Effect of bur type on microtensile bond strengths of self- etching systems to human dentine. *The Journal of adhesive dentistry.* 2004; 17: 310- 314.
29. Gamal, W., Abdou, A. & Salem, G.A. Fracture resistance and flexural strength of endodontically treated teeth restored by different short fiber resin composites: a preclinical study. *Bull Natl Res Cent* 46, 276 (2022).
30. Guo YB, Bai W, Liang YH. Fracture resistance of endodontically treated teeth with cervical defects using different restorative treatments. *J Dent Sci.* 2022 Apr;17(2):842-847.
31. Lassila L, Säilynoja E, Prinssi R, Vallittu P, Garoushi S. Characterization of a new fiber-reinforced flowable composite. *Odontology.* 2019 Jul;107(3):342-352.
32. Yarmohamadi E, Ahmadi B, Farhadian M. Comparative Evaluation of Application of Universal Bonding Strength of Light Cure and Dual Cure Composites Bonded to Dentin. *Front Dent.* 2023; 20: 39.
33. Hofsteenge JW, Hogeweijn F, Cune MS, Gresnigt MMM. Effect of immediate dentine sealing on the aging and fracture strength of lithium disilicate inlays and overlays. *J Mech Behav Biomed Mater.* 2020: Oct; 110: 103906.
34. Abo-Alazm EAE, Safy RK. Impact of Immediate Dentin Sealing Using Universal Adhesive under Simulated Pulp Pressure on Microtensile Bond Strength of Indirect Resin Composite Restorations and Dentin Permeability. *Eur J Dent.* 2022 Jul;16(3):536-542.